

# $^{187}\text{Pt}$ 的转动带性质研究\*

邢烨炳<sup>1,2</sup> 周小红<sup>1,2;1)</sup> 张玉虎<sup>1</sup> M. Oshima<sup>3</sup> Y. Toh<sup>3</sup> M. Koizumi<sup>3</sup>  
A. Osa<sup>3</sup> Y. Hatsukawa<sup>3</sup> M. Sugawara<sup>4</sup>

1 (中国科学院近代物理研究所 兰州 730000)

2 (中国科学院研究生院 北京 100049)

3 (Japan Atomic Energy Research Institute, Tokai, Ibaraki 319-1195, Japan)

4 (Chiba Institute of Technology, Narashino, Chiba 275-0023, Japan)

**摘要** 利用在束 $\gamma$ 谱学技术和 $^{173}\text{Yb}(^{18}\text{O}, 4n)$ 熔合蒸发反应研究了 $^{187}\text{Pt}$ 的高自旋态能级结构。建立了包括3个转动带的 $^{187}\text{Pt}$ 高自旋态能级纲图。基于 $^{187}\text{Pt}$ 周围核结构的系统学和比较带内 $B(\text{M}1)/B(\text{E}2)$ 比率的实验值和理论值，建议上述3个转动带的组态分别为 $11/2^+[615]$ ， $7/2^-[503]$ 和 $1/2^-[521]$ 。对各转动带的带交叉频率、顺排增益、旋称劈裂等进行了讨论。

**关键词** 在束 $\gamma$ 谱学 转动带 组态

## 1 引言

缺中子Pt同位素位于过渡核区<sup>[1, 2]</sup>。在Pt偶-偶核能谱中系统地表现出长椭球和扁椭球、扁椭球和三轴形变的形状共存现象<sup>[3-5]</sup>。对于 $A \leq 186$ 的Pt偶-偶核，它们的基本带具有明显的长椭形变特征<sup>[3-5]</sup>； $A \geq 188$ 的Pt偶-偶核晕带具有扁椭球形变<sup>[3, 5, 6]</sup>。因此， $^{187}\text{Pt}$ 核处于Pt同位素链形状变化的转变点上，其能谱应该具有典型的形状共存特征。Pt缺中子核的势能面普遍对 $\beta$ 和 $\gamma$ 形变相当软，价核子占据不同的Nilsson轨道对核芯有不同的极化效应<sup>[1, 7]</sup>。可以预期， $^{187}\text{Pt}$ 核应该表现出非常强的转动带性质组态相关性。在本研究工作之前，已报道过 $^{187}\text{Pt}$ 核基于 $\nu i_{13/2}^{-1}$ 和 $7/2^-[503]$ 组态的转动带<sup>[2, 8]</sup>。我们利用在束 $\gamma$ 谱学技术对 $^{187}\text{Pt}$ 核的高自旋态能级纲图进行了很大的扩展。

## 2 实验和结果

通过 $^{173}\text{Yb}(^{18}\text{O}, 4n)$ 反应布居了 $^{187}\text{Pt}$ 的高自旋激发态。 $^{18}\text{O}$ 束流由日本原子力研究所(JAERI)串列加速器提供。所用靶为 $2\text{mg}/\text{cm}^2$ 厚的 $^{173}\text{Yb}$ 同位素靶，

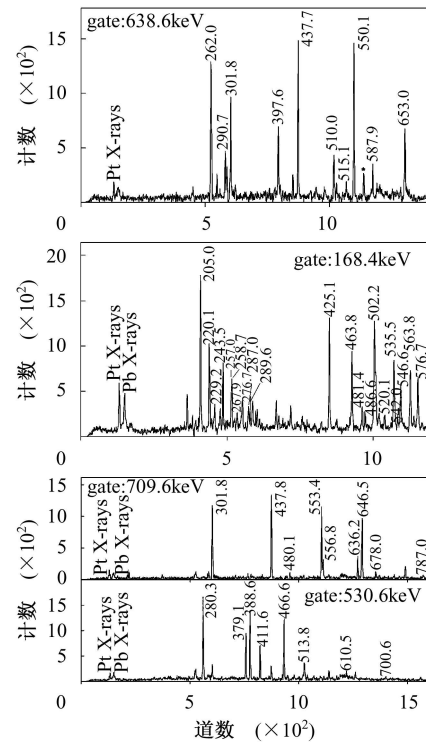


图1 638.6, 168.4, 709.6和530.6keV  $\gamma$ 射线的符合谱  
符号\*表示玷污。

2006-05-25 收稿

\* 国家自然科学基金(10505025, 10475097, 10221003), 中国科学院百人计划项目和中国科学院基金资助

1) E-mail: zxh@impcas.ac.cn

靶衬为 $7\text{mg}/\text{cm}^2$ 厚铅。探测器阵列由14个带有BGO康普顿抑制的高纯锗探测器组成。各HPGe探测器对 $^{60}\text{Co}$ 标准放射源1332.5keV峰的能量分辨在2.0—2.8keV之间。在78和85MeV束流能量下进行了长时间的 $\gamma-\gamma-t$ 符合测量。这里 $t$ 表示在 $\pm 200\text{ns}$ 时间范围内任意两条符合的 $\gamma$ 射线之间的时间差。共获取了 $240 \times 10^6$ 个符合事件。在实验前后，用 $^{60}\text{Co}$ 、 $^{133}\text{Ba}$ 和 $^{152}\text{Eu}$ 标准放射源对探测器做了能量和相对探测效率刻度。离线数据处理时，对各探测器进行精确的增益匹配后，把这些符合事件整理成一个对称的总矩阵和一个非对称的DCO矩阵，用于分析 $\gamma$ 射线之间的符合关系和提取 $\gamma$ 跃迁的多极性信息。

基于与 $^{187}\text{Pt}$ 已知 $\gamma$ 射线的符合<sup>[2, 8, 9]</sup>、X- $\gamma$ 符合和激发函数测量结果，指定了源于 $^{187}\text{Pt}$ 的新 $\gamma$ 射线。对 $^{187}\text{Pt}$ 的每一条 $\gamma$ 射线都做了开门谱。图1给出了4个典型的开门谱，用于显示数据质量和符合关系。根据 $\gamma-\gamma$ 符合关系、 $\gamma$ 跃迁强度平衡和交叉跃迁等信息，本工作建立了 $^{187}\text{Pt}$ 的高自旋态能级纲图(见图2)，包括3个转动带。在图2中， $\gamma$ 跃迁线的粗细代表了其相对强度的大小。用DCO系数确定了 $\gamma$ 跃迁的多极性。在前人的研究工作中<sup>[2, 8]</sup>，已观测到了带1和带2自旋值分别为 $29/2^+$ 和 $17/2^-$ 的能级。我们的工作对带1和带2做了很大的扩展，带头自旋值取自文献[2, 8]。带3是本工作新发现的。

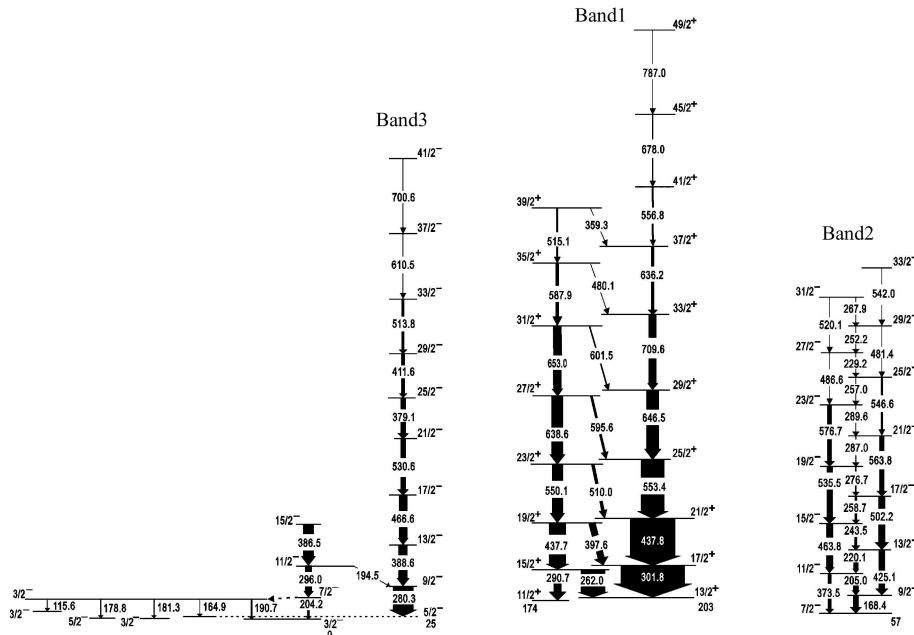


图2  $^{187}\text{Pt}$ 的高自旋态能级纲图

### 3 讨论

为了讨论 $^{187}\text{Pt}$ 核转动带的性质，根据文献[10]给出的方法提取了各转动带的Routhians和顺排*i*，结果如图3所示。对于带1，我们选取Harris参数 $J_0=23\hbar^2\text{MeV}^{-1}$ 和 $J_1=40\hbar^4\text{MeV}^{-3}$ 。对于带2和带3，选取Harris参数 $J_0=20.5\hbar^2\text{MeV}^{-1}$ 和 $J_1=80\hbar^4\text{MeV}^{-3}$ 。

带1布居最强。基于较重奇 $A$ Pt核结构的系统性和比较邻近同子素核 $^{185}\text{Os}$ 的 $\nu i_{13/2}$ 能带特性<sup>[2, 11]</sup>，带1的组态很可能是 $11/2^+[615](\nu i_{13/2})$ 。该带旋称量子数 $\alpha=1/2$ 的能量优惠分支和 $\alpha=-1/2$ 的能量非优惠分支在 $\hbar\omega=0.30\text{MeV}$ 处发生带交叉(见图3)，且顺

排增益约为 $7\hbar$ 。根据周围核扁椭形变 $\nu i_{13/2}$ 带带交叉的系统性<sup>[12]</sup>，我们认为带1的带交叉分别对应于 $\nu i_{13/2}$ 中子的BC和AD顺排。如图3所示，带1存在非常明显的旋称劈裂。为了清楚地显示该带的旋称劈裂，定义 $S(I)$ <sup>[13]</sup>：

$$S(I) = [E(I) - E(I-1)] - \frac{1}{2}[E(I+1) - E(I) + E(I-1) - E(I-2)], \quad (1)$$

这里， $E(I)$ 是自旋值为*I*的能级能量。图4给出了 $S(I)$ 随*I*的变化， $S(I)$ 放大了旋称劈裂约2倍。可见，带1的能量旋称劈裂约为200keV。如果带1建立在纯的高*K* $11/2^+[615](\nu i_{13/2})$ Nilsson轨道上，旋称劈裂应该很小。可能是由于该带具有明显的三轴形变或十六极

形变, 增强了组态中  $\Omega=1/2$  的成分, 从而导致了很大的旋称劈裂<sup>[14]</sup>.

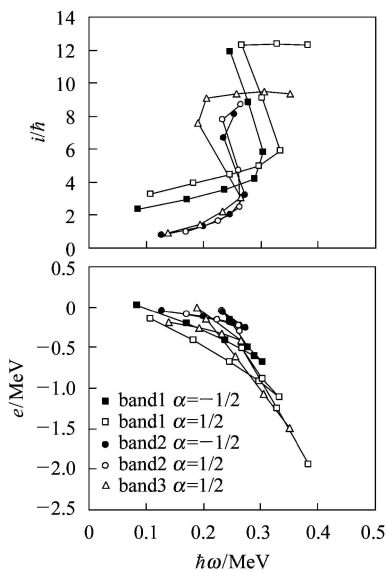


图 3  $^{187}\text{Pt}$  转动带的顺排和 Routhian 能量

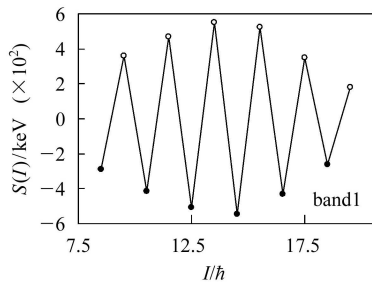


图 4 转动带 I 的旋称劈裂

在  $^{187}\text{Pt}$  的周围核中系统地观测到了类似带 2 的强耦合带<sup>[1, 7]</sup>. 带 2 可能基于长椭形变的  $7/2^-[503]$  ( $\nu f_{7/2}$ ) 或  $7/2^-[514]$  ( $\nu h_{9/2}$ ) 组态. 对于强耦合带, 比较实验和理论  $B(\text{M1})/B(\text{E2})$  比率能够提供组态和顺排准粒子的重要信息.  $B(\text{M1})/B(\text{E2})$  比率的实验值为<sup>[15]</sup>

$$\frac{B(\text{M1}; I \rightarrow I-1)}{B(\text{E2}; I \rightarrow I-2)} = 0.697 \frac{[E_\gamma(I \rightarrow I-2)]^5}{[E_\gamma(I \rightarrow I-1)]^3} \times \frac{1}{\lambda} \frac{1}{1 + \delta^2} \left( \frac{\mu_N^2}{e^2 b^2} \right), \quad (2)$$

这里,  $\lambda$  是退激自旋值为  $I$  的能级的  $\Delta I=2$  和  $\Delta I=1$   $\gamma$  射线的强度比;  $\delta$  是  $\Delta I=1$  跃迁的 E2/M1 混合比;  $E_\gamma(I \rightarrow I-2)$  和  $E_\gamma(I \rightarrow I-1)$  分别是  $\Delta I=2$  和  $\Delta I=1$  跃迁的能量. 混合比  $\delta$  对  $B(\text{M1})/B(\text{E2})$  比率影响很小, 一般取  $\delta=0.0$ .  $B(\text{M1})/B(\text{E2})$  比率理论值从以下

的半经典公式获得<sup>[16, 17]</sup>

$$\frac{B(\text{M1}; I \rightarrow I-1)}{B(\text{E2}; I \rightarrow I-2)} = \frac{12}{5Q_0^2 \cos^2(\gamma + 30^\circ)} \times \left[ 1 - \frac{K^2}{(I-1/2)^2} \right]^{-2} \frac{K^2}{I^2} \{ (g_1 - g_R) [(I^2 - K^2)^{1/2} - i_1] - (g_2 - g_R) i_2 \}^2 \left( \frac{\mu_N^2}{e^2 b^2} \right), \quad (3)$$

式中下标 1 和 2 分别指强耦合和顺排准粒子, 各个参数的详细说明见参考文献[18]. 根据图 5 取  $i_1=0\hbar$ ,  $i_2=7\hbar$ ,  $K=3.5$ ,  $Q_0=5.7\text{e}\cdot\text{b}$ <sup>[11]</sup>. 假定  $\gamma=0^\circ$ , 图 5 比较带 2 的  $B(\text{M1})/B(\text{E2})$  实验值与基于  $7/2^-[503]$  ( $\nu f_{7/2}$ ) 和  $7/2^-[514]$  ( $\nu h_{9/2}$ ) 组态的理论值.  $7/2^-[503]$  ( $\nu f_{7/2}$ ) 和  $7/2^-[514]$  ( $\nu h_{9/2}$ ) 组态的  $g_1 - g_R$  值取自文献[11, 14]. 从图 5 可见, 带 2 应该基于  $7/2^-[503]$  ( $\nu f_{7/2}$ ) 组态. 图 3 显示该带在  $\hbar\omega=0.25\text{MeV}$  处发生带交叉, 顺排增益至少是  $6\hbar$ . 在  $^{187}\text{Pt}$  周围的长椭形变核中<sup>[1, 7]</sup>, 一对  $i_{13/2}$  中子或一对  $h_{9/2}$  质子最容易拆对顺排. 图 5 比较带 2 在高转动频率区  $B(\text{M1})/B(\text{E2})$  的实验值与  $i_{13/2}$  中子和  $h_{9/2}$  质子顺排的理论值, 顺排  $i_{13/2}$  中子和  $h_{9/2}$  质子的  $g_2 - g_R$  值取自文献[14]. 实验  $B(\text{M1})/B(\text{E2})$  值支持  $h_{9/2}$  质子顺排. 基于以上讨论, 我们认为带 2 是建立在  $7/2^-[503]$  ( $\nu f_{7/2}$ ) 组态之上, 并在  $\hbar\omega=0.25\text{MeV}$  处一对  $h_{9/2}$  质子拆对顺排.

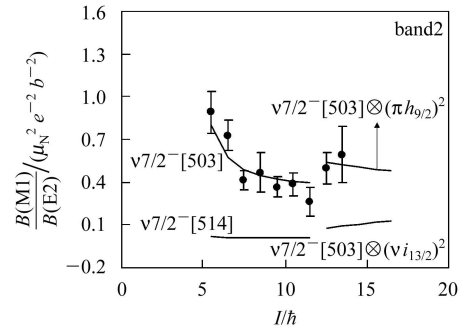


图 5 带 2 的  $B(\text{M1})/B(\text{E2})$  实验值和理论值比较

带 3 具有典型的退耦合带特征, 其应该基于  $\Omega=1/2$  的 Nilsson 轨道. 考虑到带 3 的能级间隔非常类似于较轻奇  $A$  Pt 核中长椭形变的  $1/2^-[521]$  ( $\nu p_{3/2}$ ) 转动带<sup>[1, 7]</sup>, 我们认为该带很可能建立在  $1/2^-[521]$  Nilsson 轨道上. 带 3 在  $\hbar\omega=0.22\text{MeV}$  处发生带交叉, 顺排增益为  $7\hbar$ . 该带交叉频率非常接近较轻奇  $A$  Pt 核中  $1/2^-[521]$  转动带的带交叉频率<sup>[1, 7]</sup>. 因此, 带 3 的带交叉可能是中子 AB ( $\nu i_{13/2}$ ) 顺排引起的, 但不能排除  $h_{9/2}$  质子顺排.

## 4 结论

本工作利用在束 $\gamma$ 谱学技术和 $^{173}\text{Yb}(^{18}\text{O}, 4\text{n})$ 反应研究了 $^{187}\text{Pt}$ 的高自旋态, 建立了包括3个转动带的

$^{187}\text{Pt}$ 高自旋态能级纲图. 基于 $^{187}\text{Pt}$ 周围核结构的系统性和比较带内 $B(\text{M}1)/B(\text{E}2)$ 比率的实验值和理论值, 建议了各转动带的组态. 讨论了各转动带的带交叉频率、顺排增益、旋称劈裂等. 下一步将要结合理论计算深入探讨 $^{187}\text{Pt}$ 核的结构特性.

## 参考文献(References)

- 1 Pilotte S, Kajrys G, Monaro S et al. Phys. Rev., 1989, **C40**: 610
- 2 Piiparin M, Cunname J C, Daly P J et al. Phys. Rev. Lett., 1975, **34**: 1110
- 3 Richter L, Backe H, Welk F et al. Nucl. Phys., 1979, **A319**: 221
- 4 Hebbinghaus G, Kutsarova T, Gast W et al. Nucl. Phys., 1990, **A514**: 225
- 5 Carpenter M P, Bingham C R, Courtney L H et al. Nucl. Phys., 1990, **A513**: 125
- 6 Hjorth S A, Johnson A, Lindblad Th et al. Nucl. Phys., 1976, **A262**: 328
- 7 Nyberg J, Johnson A, Carpenter M P et al. Nucl. Phys., 1990, **A511**: 92
- 8 Abreu M C, Oms J et al. Univ. Paris, Inst. Phys. Nucl., 1986, E22
- 9 Roussiére B, Kilcher P, Le Blanc F et al. Nucl. Phys., 1992, **A548**: 227
- 10 Bengtsson R, Frauendorf S. Nucl. Phys., 1979, **A327**: 139
- 11 Shizuma T, Mitarai S, Sletten G et al. Phys. Rev., 2004, **C69**: 024305
- 12 Kutsarova T, Schück C, Gueorguieva E et al. Eur. Phys. J., 2005, **A23**: 69
- 13 ZHANG Y H, Hayakawa T, Oshima M et al. Phys. Rev., 2002, **C65**: 014302
- 14 De Voigt M J A, Kaczarowski R, Riezebos H J et al. Nucl. Phys., 1990, **A507**: 447
- 15 Juutinen S, Ahonen P, Hattula J et al. Nucl. Phys., 1991, **A526**: 346
- 16 Dönau F, Frauendorf S. Proc. Conf. on High Angular Momentum Properties of Nuclei, Oak Ridge, 1982. Ed Johnson N R. New York: Harwood Academic, 1983. 143
- 17 Larabee A J, Courtney L H, Frauendorf S et al. Phys. Rev., 1984, **C29**: 1934
- 18 ZHOU X H, Oshima M, XU F R et al. Eur. Phys. J., 2004, **A19**: 11

## Quasiparticle Nature of Rotational Bands in $^{187}\text{Pt}^*$

XING Ye-Bing<sup>1,2</sup> ZHOU Xiao-Hong<sup>1,2;1)</sup> ZHANG Yu-Hu<sup>1</sup> M. Oshima<sup>3</sup> Y. Toh<sup>3</sup>

M. Koizumi<sup>3</sup> A. Osa<sup>3</sup> Y. Hatsukawa<sup>3</sup> M. Sugawara<sup>4</sup>

1 (Institute of Modern Physics, Chinese Academy of Sciences, Lanzhou 730000, China)

2 (Graduate School, Chinese Academy of Sciences, Beijing 100049, China)

3 (Japan Atomic Energy Research Institute, Tokai, Ibaraki 319-1195, Japan)

4 (Chiba Institute of Technology, Narashino, Chiba 275-0023, Japan)

**Abstract** The high-spin states in  $^{187}\text{Pt}$  have been studied experimentally by means of in-beam  $\gamma$ -ray spectroscopy techniques via the  $^{173}\text{Yb}(^{18}\text{O}, 4\text{n})$  fusion-evaporation reaction. The high-spin level scheme of  $^{187}\text{Pt}$  has been established, including three rotational bands. Based on the systematics of level structure in neighboring nuclei and by comparing the experimental and theoretical  $B(\text{M}1)/B(\text{E}2)$  ratios, configurations of  $11/2^+[615]$ ,  $7/2^-[503]$  and  $1/2^-[521]$  have been proposed for the three rotational bands, respectively. Band properties of band crossing frequency, alignment gain and signature splitting have been discussed.

**Key words** in-beam  $\gamma$ -ray spectroscopy, rotational band, configuration

Received 25 May 2006

\* Supported by National Natural Sciences Foundation of China (10505025, 10475097, 10221003), 100 Talents Programme of the Chinese Academy of Sciences and Science Foundation of the Chinese Academy of Sciences

1) E-mail: zxh@impcas.ac.cn